

Diesel SCR Control

1/12/2024

Part 1

בפרויקט זה עוסוק בבדיקה מסוג EATS זהה בקרה המתיחסת לתהליכיים ולמנגנונים שימושיים לויסות ויעול ביצועי מערכות שטפלות בגז פליטה עיקרי ממונעים המבוססים על דלק.

Assignment 1 – Exploring catalyst dynamics using VTC simulation

- נתבקשו להריץ סימולציה עבור המודל הכימי. המודל הכימי בקטליזטור מתמקד בהפחתת xNO בדרך כלל ע"י NH_3 (אמוניה) כחומר מפחית. תהליך זה מבוצע במערכת SCR באמצעות זרימת הגזים החמים מהמנוע דרך קטליזטור שבו האمونיה מגיבה עם NO_x , מפרקת אותו ומפחיתה את כמותו. דרשו עבור הסימולציה את הקבועים הבאים:

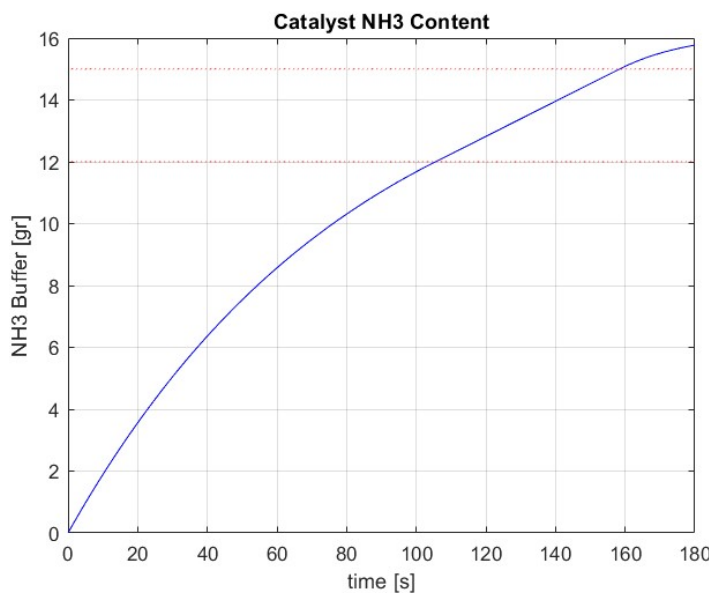
$$emf = 0.1 \left[\frac{kg}{s} \right]$$

$$inNOx = 0.2 \left[\frac{gr}{s} \right]$$

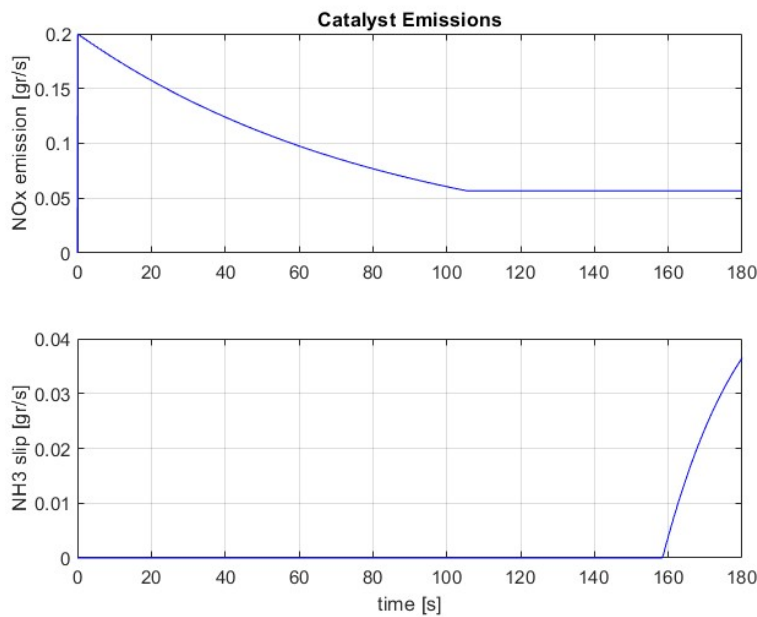
$$inNH_3_{dem(t)} = 0.2 \left[\frac{gr}{s} \right]$$

כאשר הנתונים שהשחנו מסוומולציה להסימולציה הינו טמפרטורת המודל (s/T) וכמות NH_3 שנאגר בתוך ה-SCR. כל סימולציה הרצנו למשך 3 דקות.

a. סימולציה עבור [$^{\circ}\text{C}$] $T(s) = 190$



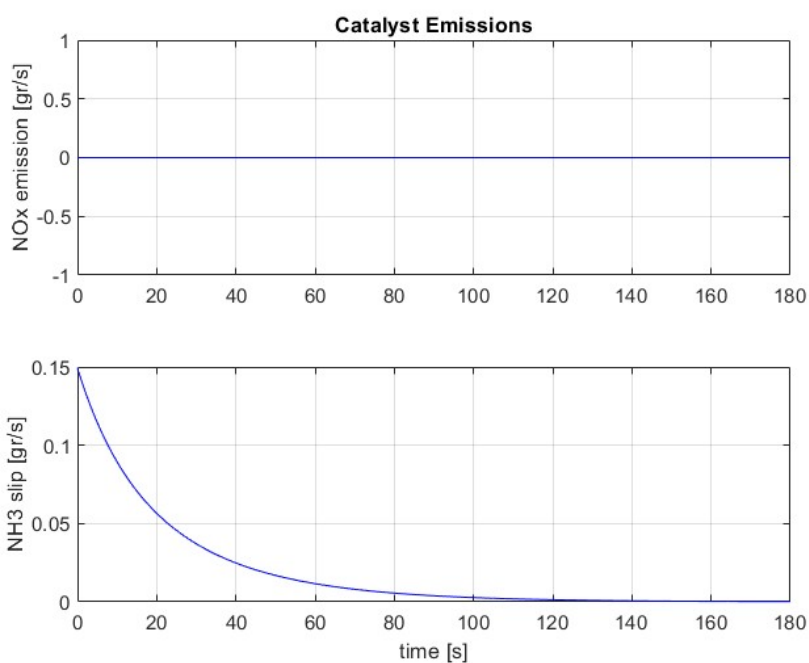
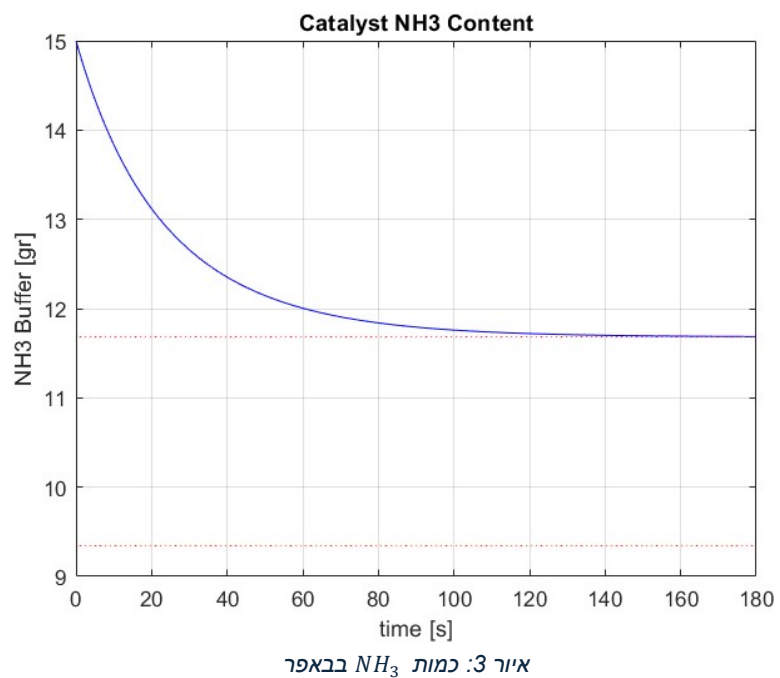
איור 1: כמות NH_3 בתוך הבאפר



איור 2: גרפּי פְּלִיטָה בַּיצָּאה

כמויות האמונייה (NH_3) שנדרש להכנס למערכת SCR תלוי בטמפרטורה של התהלייר, מכיוון שפירוק ה- $-NO_x$ ע"י האמונייה מתבצע באופן יעיל יותר בטמפרטורות מסוימות. ניתן לראות כי עבור טמפרטורה [$^{\circ}C$] $T = 190 = (s)$ כמויות האמונייה שמצטברת ב-*Buffer* חוצה את המינימום הנדרש בערך ב- $t = 105 [sec]$, ועד לזמן זה כמויות האמונייה בבאפר נמצאת מתחת למינימום הנדרש. במצב שכזה כל האמונייה שנמצאת מגיבה עם NO_x וכן היא אפסית אך לא כל ה- NO_x מגיב בהתאם עם האמונייה, וכן חלקו נפלט מהמערכת. כמויות האמונייה הנפלטת מתייצבת כאשר אנחנו חוזים את המינימום הנדרש לטוווח הרצוי. זהה כמויות האמונייה ב-*Buffer* בטוווח הזמן שבין $t < 160 [sec] < t < 105 [sec]$. מעבר ל-160 שניות אנו עוברים את המקסימום האפשרי לאמונייה בבאפר וכן במקרה הוא נפלט החוצה.

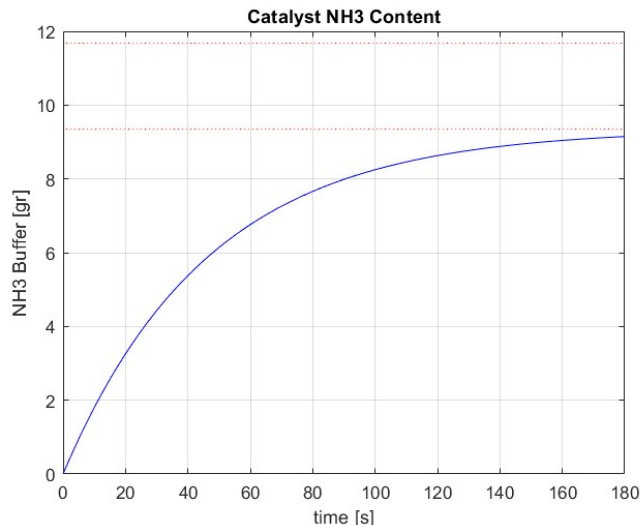
$$b. \text{ סימולציה עבור } [C] = 220 \text{ [gr]} \quad T(s) = 220 \text{ [°C]}$$



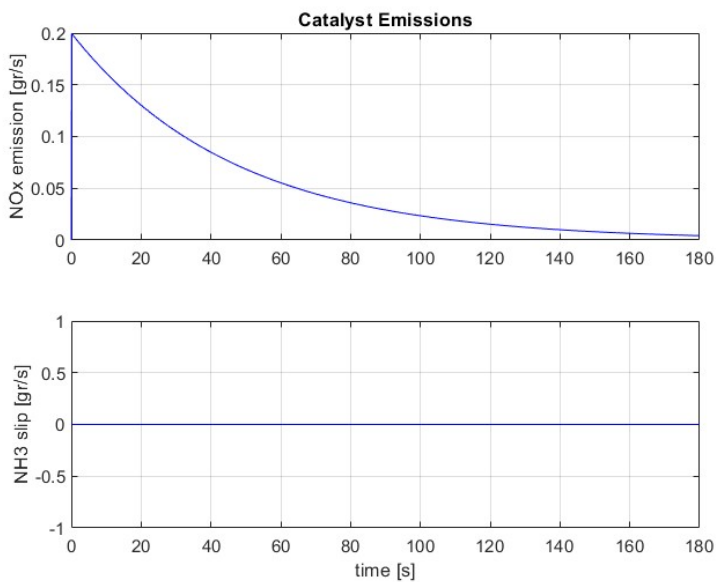
איור 4: גרפי פליטה ביציאה

ניתן לראות כי עם שינוי הטמפרטורה מ- $[C] = 190$ ל- $[C] = 220$ התגובה הכימית במערכת השתפרה. בטמפרטורה גבוהה יותר, הקטלייזטור במערכת SCR עובד בצורה יותר יעילה, מכיוון שטמפרטורה גבוהה יותר מוגבירה את קצב התגובה ומאפשרת לחומר להפעיל את התגובה בצורה אופטימלית יותר. ניתן לראות כי לאחר כל התחילה כמות האمونיה ב- $Buffer$ הייתה מעבר למקסימום הנדרש וכתוצאה לכך, כל NO_x שבמערכת הגיב בצורה מלאה ולא נפלט החוצה. ניתן לראות כי בזמן $[sec] \approx 100$ האمونיה הגiba עם כל ה- NO_x שהייתה במערכת והערך שלו בתוך ה- $Buffer$ ירד לערך המקסימלי שהוא יכול להכיל ולכך לא נפלטה יותר אמונייה מהמערכת.

$$c. \text{ סימולציה עבור } [C] = 220 \text{ [}^{\circ}\text{C}]$$



איור 5: כמות NH_3 בבאפר



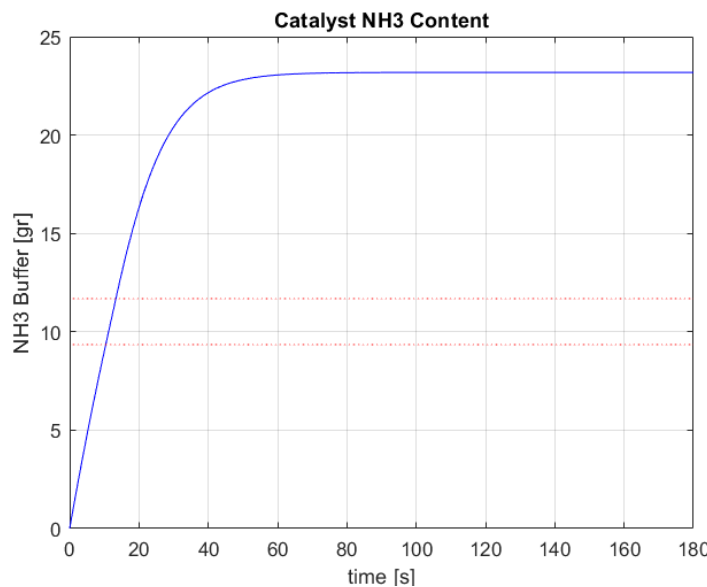
איור 6: גרפי פליטה ביציאה

במקרה הנ"ל נשארכו עם אותה טמפרטורה של $-c$ [°C] 220 מהטיסימולציה הקודמת אך כמות האمونיה ההתחלתית בבאפר השתנית והתחילה מ-0. גם במקרה זה, הטמפרטורה גבוהה, והקטלייזטור במערכת SCR עובד במצב יוטר עיליה, מכיוון שטמפרטורה גבוהה יותר מגבירה את קצב התגובה ומאפשרת לחומר להפעיל את התגובה במצב אופטימלי יותר. במקרה הנ"ל כמות האamonיה ב-*Buffer* הייתה מתחת למינימום הנדרש, משמע כל האamonיה הגיבה עם O_x וכן לא נפלטה החוצה. אבל, לא כל ה- O_x הגיב עם האamonיה וכן התקיימה פליטה O_x לאורך כל התהליך.

הסקנו כי במקרה שבו הכמות ההתחלתית של האamonיה ב-*Buffer* הייתה מעיל המקסימום הנדרש כל ה- O_x יגיב עם האamonיה שיש וכן O_x לא יפלט מהמערכת, אבל מכיוון שהייתה לנו כמות מעיל לערך המקסימלי שה- *Buffer* יכול להכיל במערכת האamonיה כן יכולה להיפלט מהמערכת.

אם זאת, כאשר כמות האamonיה הייתה מתחת למינימום הנדרש כל האamonיה הגיבה עם O_x וכן האamonיה לא נפלטה החוצה. אבל, מכיוון שלא כל ה- O_x הגיב בהכרח עם האamonיה לאורך כל הדרכו הוא כן יכול להיפלט מהמערכת בתהליך.

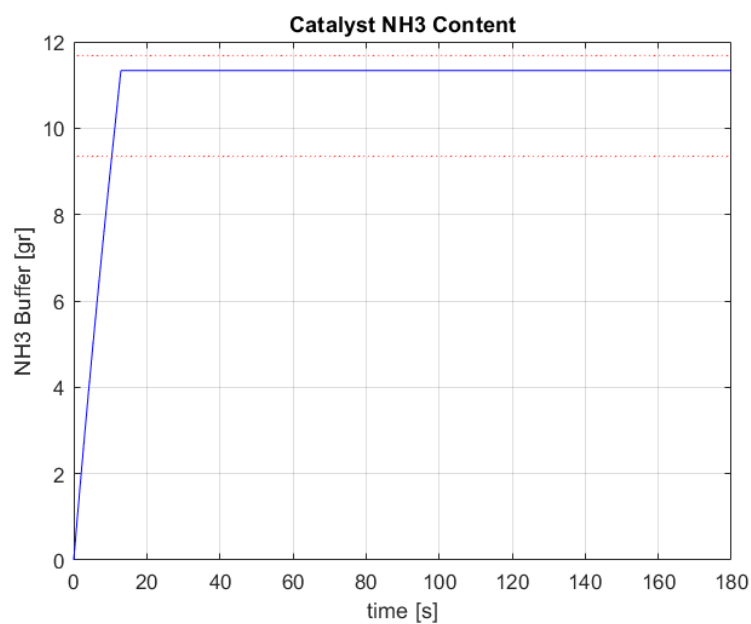
2. עבור הסימולציה $[^{\circ}\text{C}] = 220$ $T(s) = 0$ (gr) $x_b(0) = 0$ נרצה לשנות את כמות הגז NH_3 הנכנסת למודל הכימי על מנת שכמות הגז הנפלט $outNO_x + outNH_3$ תהיה מינימלית כמה שאפשר. ככלומר נרצה למצוא כמות אמונה התחלה מספקת בעזרתנו נגיע במהלך התהילן לטווח האופטימלי של כמות אמונה -Buffer . תחילית רצינו להשתמש בכמות הגבוה ביותר של אמונה התחלה על מנת להשנות את כמות האמונה בבאפר הכי מהר שאפשר. במקרה הנוכחי מצאנו כי כמות האמונה בבאפר נכנסת לתchrom האידיאלי אחרי $13[\text{sec}]$ ולשם כך ביצענו מספר סימולציות למציאת ערך הזמן האופטימלי.



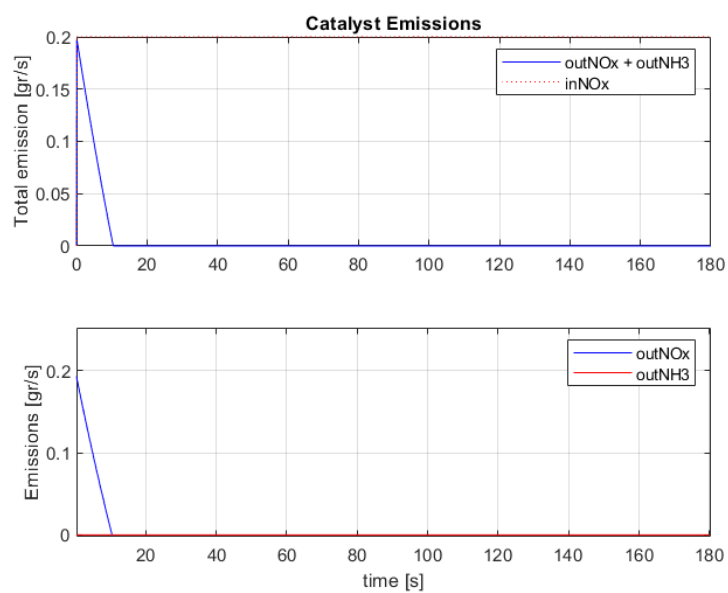
איור 7: כמות NH_3 בבאפר כאשר 1

לאחר מכן רצינו כי ערך האמונה -Buffer יתיצב לערך האידיאלי ומצאנו כי בשימוש בשיטת הבקרה הנאיבית $NO_x = NH_3 dem$ ניתן מהר ככל הניתן וונכל להישאר בטוווח האידיאלי. לכן מצאנו כי כמות הגז NH_3 הנכנסת למודל הכימי על מנת שכמות הגז הנפלט $outNO_x + outNH_3$ תהיה מינימלית כמה שאפשר הינה:

$$NH_3_dem = \begin{cases} 1 & t < 13[\text{sec}] \\ 0.2 & t \geq 13[\text{sec}] \end{cases}$$



איור 7: כמות NH_3 בבאפר האידיאלית למינימום גזי פליטה



איור 8: גרפי פליטה ביציאה

Assignment 2 – Exploring muffler thermal dynamics using VTC simulation

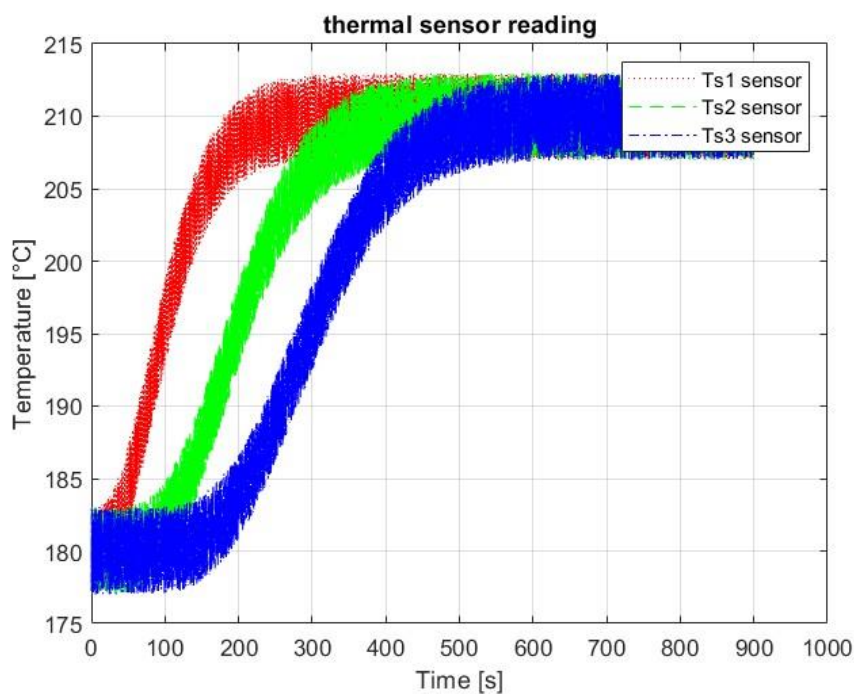
1. נתבקשנו להריץ סימולציה עבור המודל התרמי. דרשו עבור הסימולציה את הקבועים הבאים:

$$emf = 0.1 \left[\frac{kg}{s} \right]$$

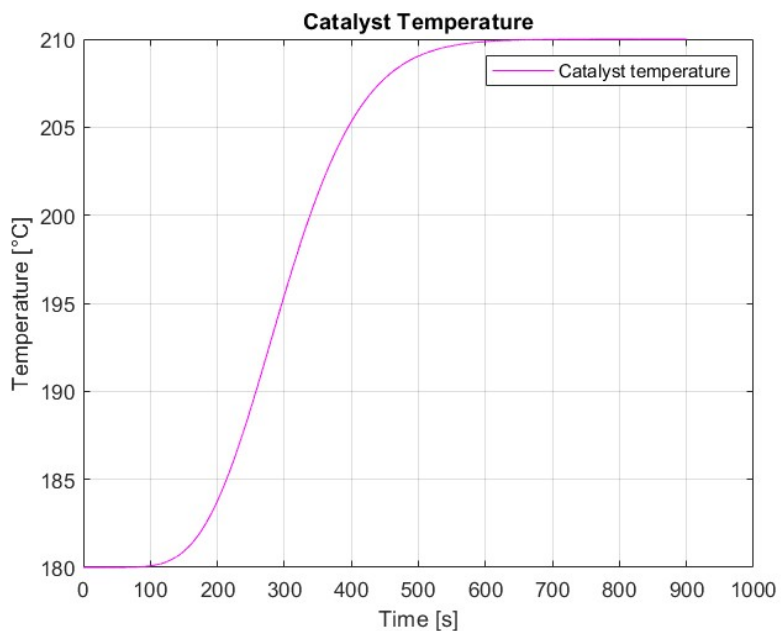
$$T_{int} = 180 [^{\circ}\text{C}]$$

כאשר הנתונים שהשחנו מסימולציה זו הם T_{exh} המשפיעה על היכולת של המערכת לשמור על חום או להעביר חום מהקטלייזטור או מערכות אחרות, ו- ΔT העוזרת להתאים את התהליכים התרמיים כדי לשמור על איזון, ולווסת את תוספת החום או את הורדת החום במערכת.

a. סימולציה עבור $[^{\circ}\text{C}]$ $T_{exh}(s) = 210 [^{\circ}\text{C}]$



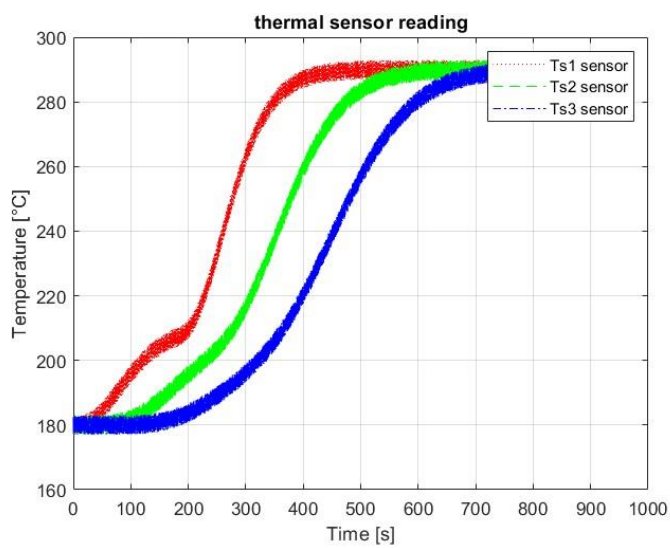
איור 9: קריית טמפרטורת החישנים עבור מקרה a



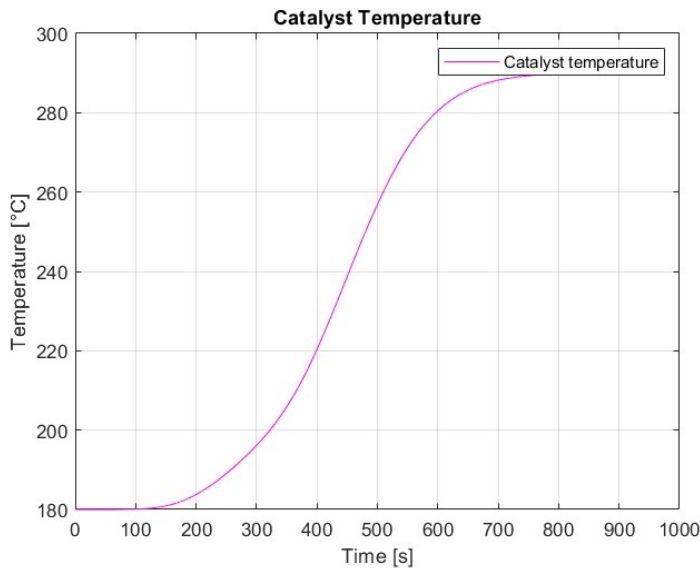
איור 10: קריית טמפרטורת ה-catalyst עבור מקרה a

$$b. \text{ סימולציה עבור } T_{exh}(s) = 210 \text{ [°C]}$$

$$\Delta T_{dem} = \begin{cases} 0[\text{°C}] & t < 3[\text{min}] \\ 120[\text{°C}] & t \geq 3[\text{min}] \end{cases}$$



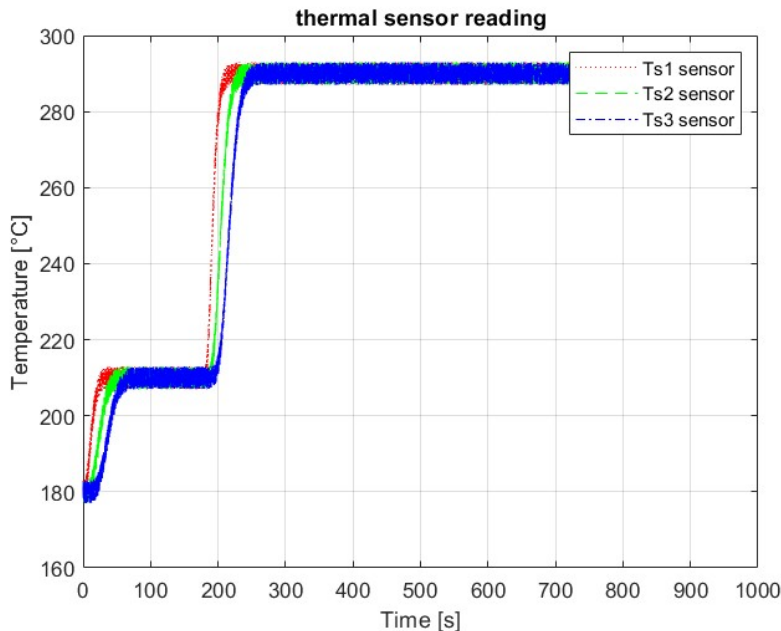
איור 11: קריית טמפרטורות החישנים עבור מקרה b



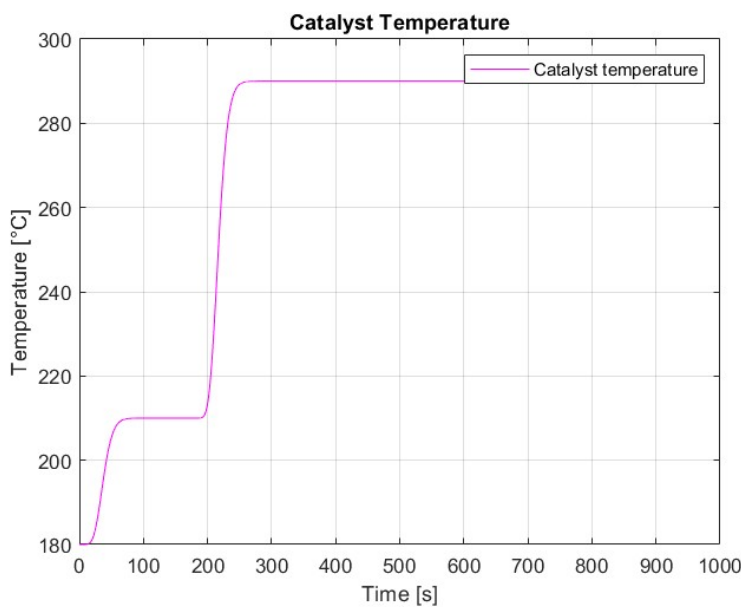
איור 12: קריית טמפרטורת ה-*catalyst* עבור מקרה b

אנו יודעים כי הקשר $T_{in} = T_{exh} + \Delta T$ מתקיים במצב יציב, הכניסטות והיציאות של החום נמצאות בשווי משקל. הקשר הנ"ל מציין איזון או "הגעה במצב יציב" שבו המערכת לא חמה יותר או קרה יותר, כלומר, לא מתיצבת. החיבור הזה עוזר לחשב את הטמפרטורה הנכנסת לטמפרטורה שבסופה של תהליך חום, המיצגת את המצב המתמיד שבו לא קיים שינוי נוסף בטמפרטורה. לכן על פי היציפה במצב מתמיד נקבל $[^{\circ}\text{C}] = 330 = T_{ss} = T_{in} = T_{exh} + \Delta T = 210 + 120$. אך כדי אר זהו אינו המקרה מכיוון שקיימת הדרישה: $[^{\circ}\text{C}] < 80 < \Delta T < [^{\circ}\text{C}] 0$. לכן כפי שניתן לראות בגרף נצפה להגעה לטמפרטורה של $[^{\circ}\text{C}] = 210 + 80 = 290$.

$$emf = 0.8 \left[\frac{kg}{s} \right]$$



איור 13: קריית טמפרטורת החישנים עבור מקהה d כאשר $emf=0.8$



איור 14: קריית טמפרטורת ה-catalyst עבור מקהה d כאשר $emf=0.8$

כעת, קצת זרימת מסת גז הפליטה היה גבוהה יותר. ניתן לראות לפי הקשר שמצאנו בהרצתה כי $\frac{1}{\alpha \cdot emf} = \tau$ כי ערך ה- emf משפיע על קבוע הזמן. ככל שה- emf הולך וגדל קבוע הזמן קטן בערך מתכנס לערך מצב מתמיד מהר יותר. ניתן לראות כי עבור מקהה d ישנו שני ערכי התיצבות עבור שני ערכי ΔT כאשר עבור $0 = \Delta T$ הטמפרטורה מתיצבת לפני שעבורו 3 דקות והערך השני של $120 = \Delta T$ התיצב גם כן יותר מהר לעומת מקהה d .

Assignment 3 – Exploring overall emission dynamics using VTC simulation

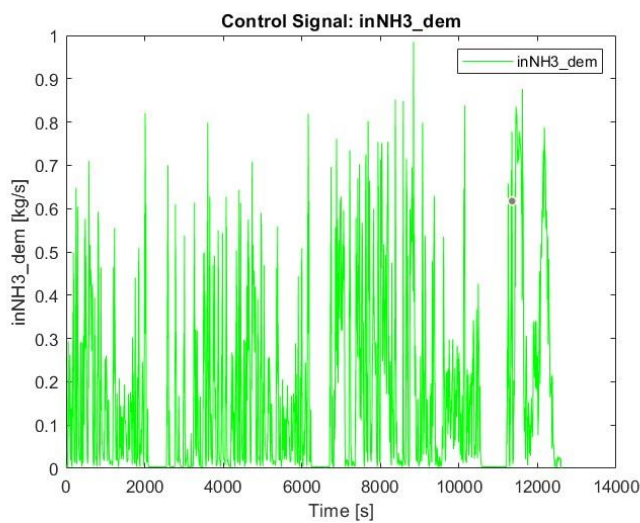
1. בסעיף זה כתבו קוד ב-MATLAB לטובות הריצה של סימולציה משותפת עבור המודל הימי והמודל התרמי. הנחנו מקרה של בקירה "נאייבית":

$$\Delta T_{dem}(t) = \max(0, 200 - T_{exh}(t))$$

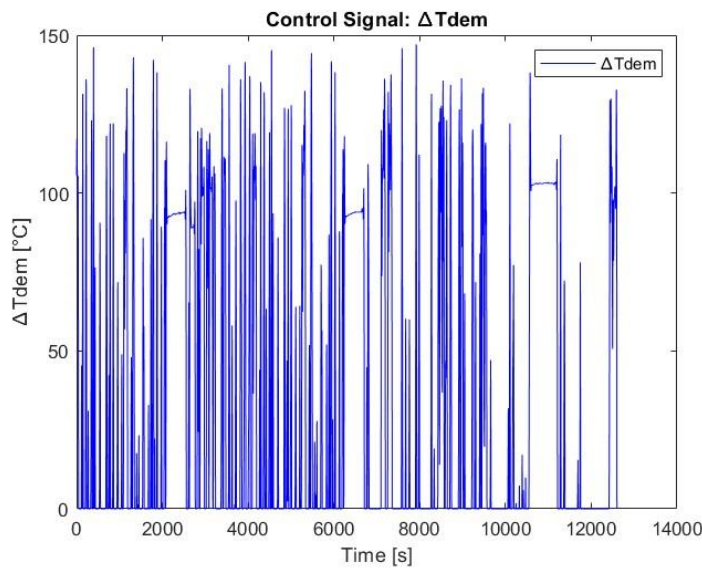
$$inNH_3_{dem}(t) = inNO_x(t)$$

הריצנו את הסימולציה עבור המידע שקיבלנו בקובץ 'Cycle1'. נציג את הממצאים שקיבלנו:

- אות הבקרה $inNH_3_{dem}(t)$

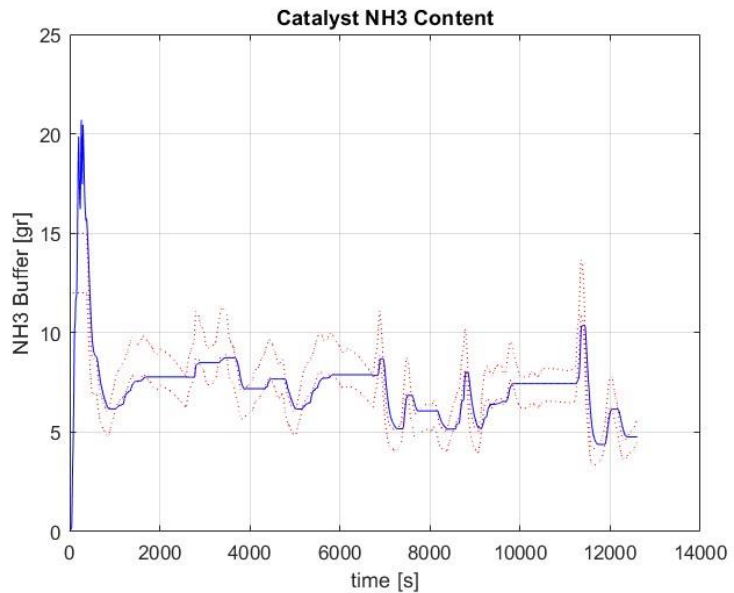


- אות הבקרה $\Delta T_{dem}(t)$



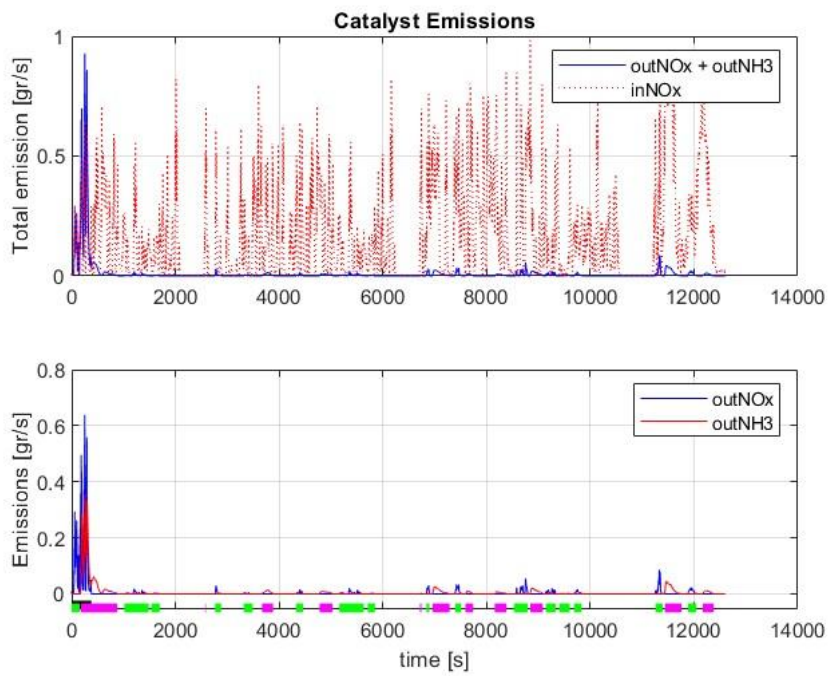
איור 15: אותות הבקרה

- כמויות NH_3 בתוך הקטלייזטור:



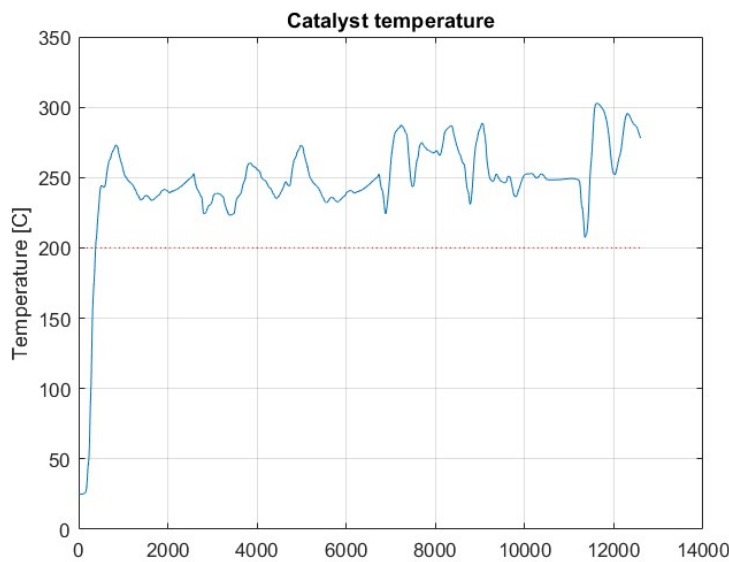
איור 16: כמויות NH_3 בbateר

- газי הפליטה מהקטלייזטור:



איור 17: גזי הפליטה

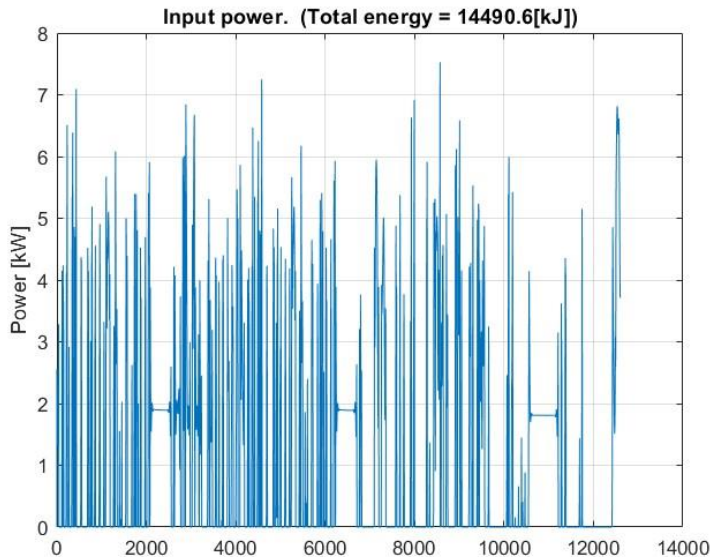
- טמפרטורת הקטלייזטור:



איור 18: טמפרטורת הקטלייזטור

ניתן לראות כי על אף העובדה של הבקרה נאיבית כמות הגז הנפלט הלא רצוי הנפלט ביציאה ירד משמעותית והתקיים מעקב יציב של כמות ה- NH_3 בטור ה-*Buffer* כך שלאורך כל הדרך הבקרה השתדרה לשמר על כמות האمونיה בטוויה היציב. אם זאת ניתן לראות כי רוב הזמן הטמפרטורה בקטלייזטור הייתה מעל לטמפרטורה המקסימלית הרצiosa שהינה 200 מעלות וכי אף הגיע עד לכ-300 מעלות בשיאו. בנוסף אנו יודעים כי טמפרטורה גבוהה יותר מפחיתה את כמות האمونיה ב-*Buffer* ומעודדת דליפה של אמונייה החוצה.

2. עלות האנרגיה התרמית של כל התהלייר המבוקר בבקירה "נאיבית" מוצגת בגרף הבא:



איור 18: עלות אנרגטית של תחליך הבקר

ניתן לראות כי עלות תפעול הבקר הנאיבית הינו גבוהה במיוחד שכן שינוי אותן הבקר ΔT בכל פעם שטמפרטורת ה- T_{exh} קטנה מ-200 מעלות עליה בתשלום אנרגיה גבוהה למערכת.

Assignment 4 – Thermal model identification

.1

- a. במודל תרמי של 15 אבני בניין, כל אבן מדומה איזור מסוים של מערכת תרמית. נתון כי $con_{i,i} = 1$ זהו מקדם מעבר החום בין אבן אחת לשנייה. ההנחה היא שככל האבניים במודל התרמי שוות בגודלן ובמאפייניהם שלהן ולכן כולן משתמשות באותו מקדם מעבר חום. בסעיף הנ"ל מבקשים לבצע זיהוי של קיבול תרמי יחסי α של אבן אחת מתוך מודל התרמי בין 15 האבניים.
- תחילה נבצע הרצה של מודל תרמי בן 15 אבניים עם ערך שרירוטי של α עבור המקרה שתואר בסעיף 2(a.1) :

$$emf = 0.1 \left[\frac{kg}{s} \right]$$

$$T_{int} = 180 [^{\circ}\text{C}]$$

$$T_{exh} = 210 [^{\circ}\text{C}]$$

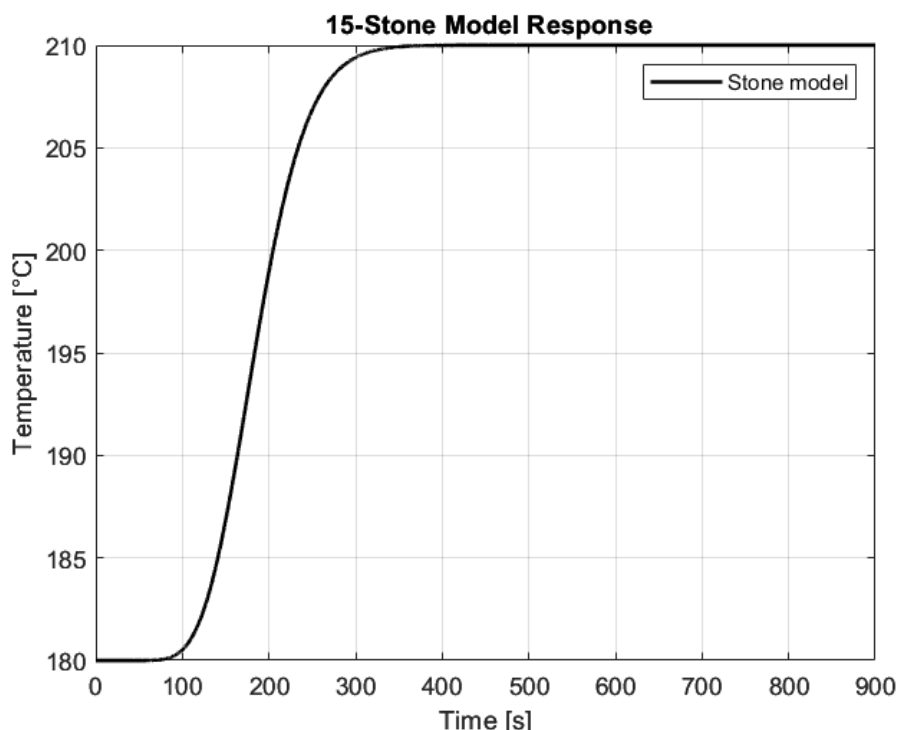
$$\Delta T_{dem} = 0 [^{\circ}\text{C}]$$

במקרה הנ"ל השתמשנו בערך שרירוטי לפי בחירתנו של $0.1 = \alpha$:
נבצע סימולציה עבורו השתמשנו בקשר שמצאנו בהרצאה :

$$T(s) = T_{in} \cdot \frac{1}{\left(\frac{s}{\alpha \cdot emf} + 1 \right)^{15}}$$

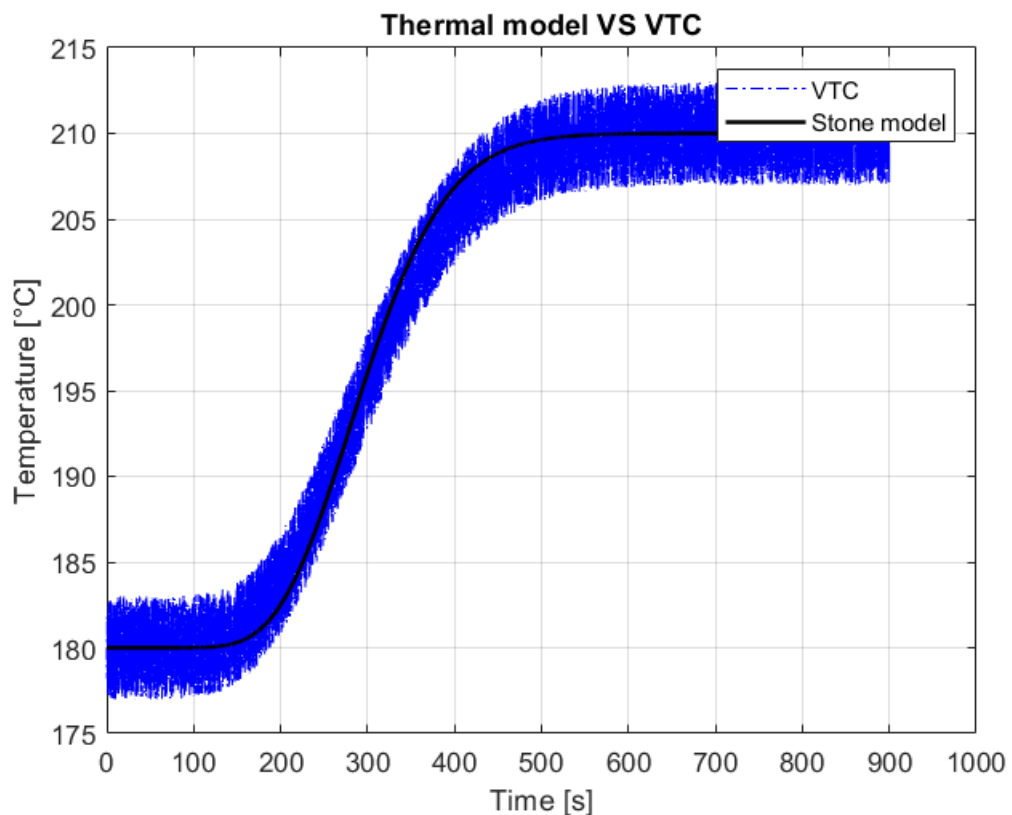
$$T_{in} = T_{exh} + \Delta T$$

בתוצאות הגף הצגנו את הערך של הטמפרטורה ביציאה מהאבן האחרונות:



איור 19: מודל 15 האבניים בהציג טמפרטורת היציאה מהאבן ה-15 עבור $\alpha = 0.8$

- b. כעת נרצה להשוות את הטמפרטורה ביציאה של ה-*catalyst* מתוך המודל התרמי של 15 האבניים לבין הטמפרטורה ביציאה שקיבלנו מהסימולציה עבור חישון T_3 .
 קיבלנו כי עבור $\alpha = 0.5$ ההתאמה בין הגרפים הייתה הטובה ביותר.



איור 20: השוואה בין מודל האבני לנתוצאות VTC T_3

2. נרצה למצוא את המטריצות A עבור משווה מרחב המצב שפיתחנו

$$\dot{T} = (T_{i-1} - T_i) \cdot \alpha \cdot emf$$

מכאן הגענו לפיתוח מטריצות מרחב המצב:

$$A = \begin{bmatrix} -\alpha \cdot emf & 0 & \dots & 0 \\ \alpha \cdot emf & -\alpha \cdot emf & 0 & \vdots \\ \vdots & \ddots & \ddots & 0 \\ 0 & 0 & \alpha \cdot emf & -\alpha \cdot emf \end{bmatrix}$$

שכאשר נשתמש בנתונים שהתקבלו בסעיף הקודם:

$$\alpha = 0.04$$

$$emf = 0.1$$

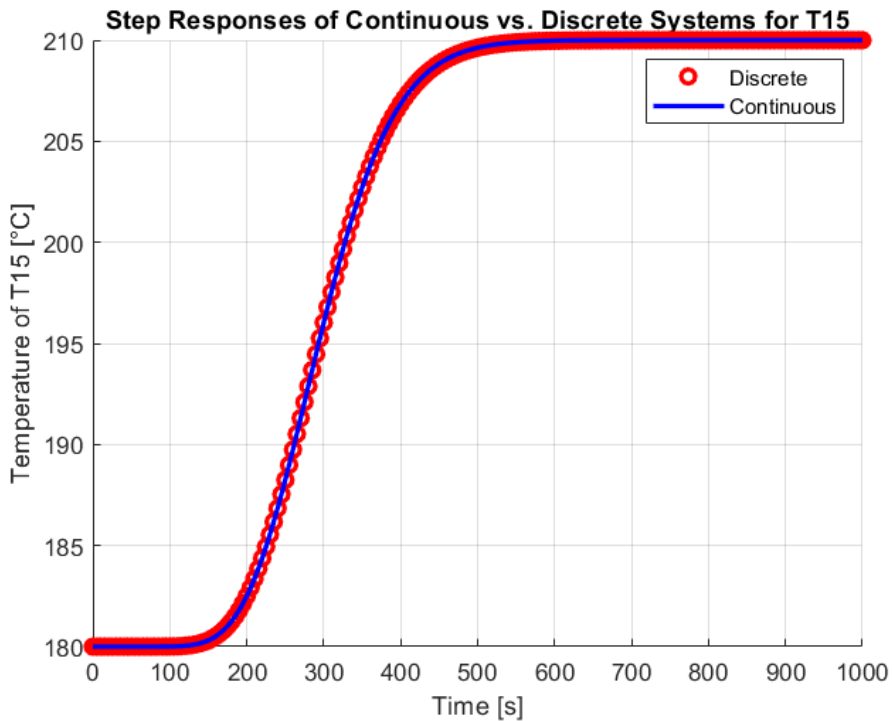
A :

$$A = \left(\begin{array}{cccccccccccccccc} -\frac{1}{250} & 0 & 0 & 0 & 0 & 0 & 0 & 0 & 0 & 0 & 0 & 0 & 0 & 0 & 0 & 0 \\ \frac{1}{250} & -\frac{1}{250} & 0 & 0 & 0 & 0 & 0 & 0 & 0 & 0 & 0 & 0 & 0 & 0 & 0 & 0 \\ 0 & \frac{1}{250} & -\frac{1}{250} & 0 & 0 & 0 & 0 & 0 & 0 & 0 & 0 & 0 & 0 & 0 & 0 & 0 \\ 0 & 0 & \frac{1}{250} & -\frac{1}{250} & 0 & 0 & 0 & 0 & 0 & 0 & 0 & 0 & 0 & 0 & 0 & 0 \\ 0 & 0 & 0 & \frac{1}{250} & -\frac{1}{250} & 0 & 0 & 0 & 0 & 0 & 0 & 0 & 0 & 0 & 0 & 0 \\ 0 & 0 & 0 & 0 & \frac{1}{250} & -\frac{1}{250} & 0 & 0 & 0 & 0 & 0 & 0 & 0 & 0 & 0 & 0 \\ 0 & 0 & 0 & 0 & 0 & \frac{1}{250} & -\frac{1}{250} & 0 & 0 & 0 & 0 & 0 & 0 & 0 & 0 & 0 \\ 0 & 0 & 0 & 0 & 0 & 0 & \frac{1}{250} & -\frac{1}{250} & 0 & 0 & 0 & 0 & 0 & 0 & 0 & 0 \\ 0 & 0 & 0 & 0 & 0 & 0 & 0 & \frac{1}{250} & -\frac{1}{250} & 0 & 0 & 0 & 0 & 0 & 0 & 0 \\ 0 & 0 & 0 & 0 & 0 & 0 & 0 & 0 & \frac{1}{250} & -\frac{1}{250} & 0 & 0 & 0 & 0 & 0 & 0 \\ 0 & 0 & 0 & 0 & 0 & 0 & 0 & 0 & 0 & \frac{1}{250} & -\frac{1}{250} & 0 & 0 & 0 & 0 & 0 \\ 0 & 0 & 0 & 0 & 0 & 0 & 0 & 0 & 0 & 0 & \frac{1}{250} & -\frac{1}{250} & 0 & 0 & 0 & 0 \\ 0 & 0 & 0 & 0 & 0 & 0 & 0 & 0 & 0 & 0 & 0 & \frac{1}{250} & -\frac{1}{250} & 0 & 0 & 0 \\ 0 & 0 & 0 & 0 & 0 & 0 & 0 & 0 & 0 & 0 & 0 & 0 & \frac{1}{250} & -\frac{1}{250} & 0 & 0 \\ 0 & 0 & 0 & 0 & 0 & 0 & 0 & 0 & 0 & 0 & 0 & 0 & 0 & \frac{1}{250} & -\frac{1}{250} & 0 \end{array} \right)$$

B:

$$\begin{pmatrix} \frac{1}{250} \\ 0 \\ 0 \\ 0 \\ 0 \\ 0 \\ 0 \\ 0 \\ 0 \\ 0 \\ 0 \\ 0 \\ 0 \\ 0 \\ 0 \\ 0 \\ 0 \\ 0 \\ 0 \\ 0 \end{pmatrix}$$

- . A_d , B_d
- . A_d מצאנו על פי המעבר למטריצה דיסקרטית : $A_d = e^{A \cdot emf \cdot ts}$.
- . $B_d = A^{-1}(emf) \cdot (A_d - 1) \cdot B$.
את המטריצה B_d מצאנו לפי הקשר $B_d = A^{-1}(emf) \cdot (A_d - 1) \cdot B$.
נשווה בין המקרה הדיסקרטי ל מקרה הרציף על גבי הגרף.



איור 21: השוואה בין מרכיב מעב רציף לדיסקרט.

ניתן לראות כי קיימת התאמה בין הגרפים וכי ההבדל הוא נקודות הדגימה הבודידות.